

第十三章 细分曲线与细分曲面

§1. 细分方法概述

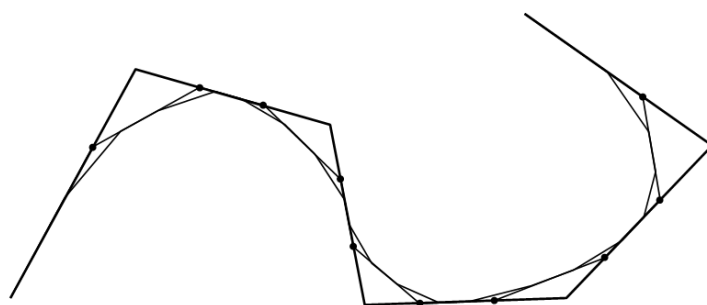
(a) 背景

- 连续曲线曲面表示，如 Bézier 曲线曲面，B 样条曲线曲面
- 曲线曲面绘制、显示、加工：离散—连续—离散
- 曲线快速生成：离散—离散，Chaikin 1974
- 任意拓扑 B 样条曲面，Catmull-Clark 1978, Doo-Sabin 1978
- 任意次数 B 样条曲面离散生成，Lane-Riesenfeld 1980
- 插值型细分曲线曲面，Dyn et al 1987, 1990
- 基于三角控制网格的曲面细分，Loop 1987, Kobbelt 2000
- 细分曲面在计算机图形与动画中的应用, De Rose et al 1990~

(b) 细分定义

- **定义：**细分方法按照一定规则对网格不断加细，得到一个网格序列，这个网格序列的极限就定义了一个光滑的曲线或曲面。
- 举例

Chaikin 细分曲线



$$P_{2i-1}^1 = \frac{3}{4}P_i^0 + \frac{1}{4}P_{i+1}^0, \quad P_{2i}^1 = \frac{1}{4}P_i^0 + \frac{3}{4}P_{i+1}^0$$

四点法插值曲线



过连续四个点 $\{P_{i-1}, P_i, P_{i+1}, P_{i+2}\}$ 构造三次 Lagrange 插值曲线

$$P(t) = \sum_{j=0}^3 P_{i-1+j} L_{j,3}(t)$$

计算可得插值点 $P_{i+1/2} = P\left(\frac{1}{2}\right) = -\frac{1}{16}P_{i-1} + \frac{9}{16}P_i + \frac{9}{16}P_{i+1} - \frac{1}{16}P_{i+2}$

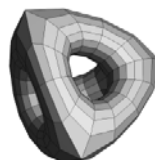
Catmull-Clark 曲面



控制网格



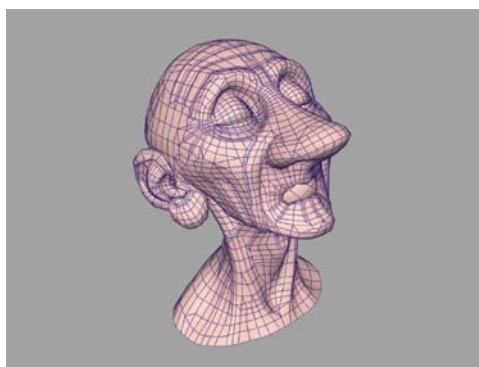
细分一次



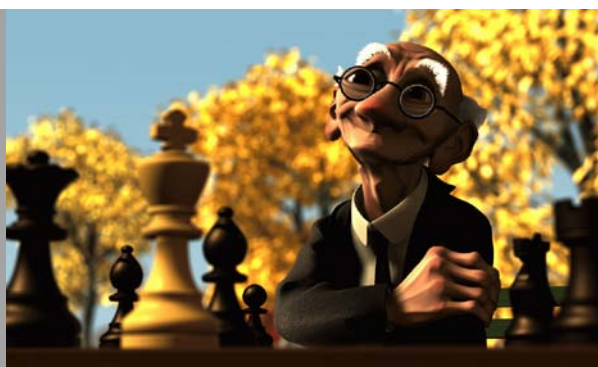
细分二次



极限曲面



控制网格



Geri's game

● 细分方法的分类

根据原始控制顶点是否保留不变分类：

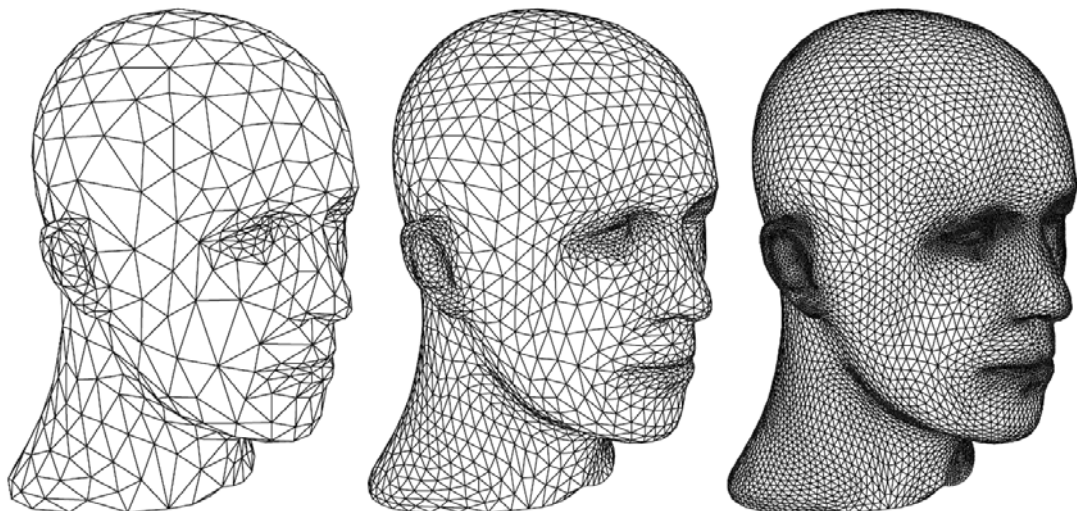
- 逼近细分 (approximate subdivision)
- 插值细分 (interpolatory subdivision)

根据细分规则是否随着细分次数改变分类：

- 稳定细分 (stationary subdivision)
- 非稳定细分 (non-stationary subdivision)

(c) 网格表示

- 细分曲线的控制网格是一多边形
- 细分曲面的控制网格由点、边、面构成： $M=(V,E,F)$



控制网格及加细网格

(d) 细分曲线曲面特点

- 计算高效性：少量浮点运算即可，与样条曲面类似，但隐式曲面计算较复杂
- 任意拓扑结构：控制网格和细分曲面可以具有任意拓扑结构，参数曲面拼接较复杂，而隐式曲面结构较难控制
- 曲面特征生成：通过控制细分规则和局部参数可生成折痕、尖刺等曲面特征

- 曲面层次表示：通过不同的细分层次进行交互或局部加细

§2. 均匀节点 B 样条与曲线细分

(a) 均匀 B 样条的节点加密

设节点向量为 $\mathbf{Z} = \{t_j = j\}$, k 阶 B 样条基函数可递归定义为

$$N_{i,k}(t) = \frac{t-i}{k-1} N_{i,k-1}(t) + \frac{i+k-t}{k-1} N_{i+1,k-1}(t)$$

$$\text{特别地, } N_{i,1}(t) = \begin{cases} 1 & t_i < t < t_{i+1} \\ 0 & \text{其它} \end{cases}$$

由平移性质知

$$N_{i,k}(t) = N_{0,k}(t-i) = N^k(t-i)$$

$$\text{定义节点向量 } \mathbf{Z}/2 = \left\{ \dots, -1, -\frac{1}{2}, 0, \frac{1}{2}, 1, \dots \right\}$$

$$\text{曲线 } P(t) = \sum_{i \in \mathbf{Z}} P_i^0 N^k(t-i) = \sum_{i \in \mathbf{Z}/2} P_i^1 N^k(2(t-i))$$

由于 $\{N^k(2t-i) | i \in \mathbf{Z}\}$ 为 k 阶 B 样条基函数, 故 $N^k(t)$ 可由这组基表示

$$N^k(t) = \sum_{i \in \mathbf{Z}} c_i^k N^k(2t-i)$$

由 deBoor-Cox 公式并归纳可证

$$c_i^k = 2^{-(k-1)} \binom{k}{i}$$

平移可得

$$N^k(t-i) = \sum_{j \in \mathbf{Z}} c_{j-2i}^k N^k(2t-j)$$

代入曲线方程中有

$$P(t) = \sum_{i \in \mathbf{Z}} P_i^0 N^k(t-i) = \sum_{i \in \mathbf{Z}} P_i^0 \sum_{j \in \mathbf{Z}} c_{j-2i}^k N^k(2t-j)$$

$$\text{整理可得 } P_j^1 = \sum_{i \in \mathbf{Z}} c_{j-2i}^k P_i^0$$

(b) 卷积方法

卷积定义：连续函数 $f(t)$ 和 $g(t)$ 的卷积为

$$(f \otimes g)(t) = \int f(s)g(t-s)ds$$

卷积运算满足如下性质：

1. 线性性： $f(t) \otimes (g(t) + h(t)) = f(t) \otimes g(t) + f(t) \otimes h(t)$

2. 时间平移： $f(t-i) \otimes g(t-k) = m(t-i-k)$

3. 时间放缩： $f(2t) \otimes g(2t) = \frac{1}{2}m(2t)$

其中 $m(t) = f(t) \otimes g(t)$

B 样条基函数可由卷积得到：

$$N^k(t) = N^{k-1}(t) \otimes N^1(t) = \bigotimes_{i=0}^{k-1} N^1(t)$$

由 B 样条定义易得：

$$N^1(t) = N^1(2t) + N^1(2t-1)$$

由卷积定义及性质，可得

$$N^k(t) = \bigotimes_{i=0}^{k-1} N^1(t) = \bigotimes_{i=0}^{k-1} (N^1(2t) + N^1(2t-1)) = \frac{1}{2^{k-1}} \sum_{i=0}^k \binom{k}{i} N^k(2t-i)$$

即 B 样条的双尺度方程为

$$N^k(t) = \frac{1}{2^{k-1}} \sum_{i=0}^k \binom{k}{i} N^k(2t-i)$$

$$\text{记 } N(t) = [\dots, N^k(t+2), N^k(t+1), N^k(t), N^k(t-1), N^k(t-2), \dots]$$

则双尺度方程可表示成矩阵形式

$$N(t) = N(2t)S$$

其中矩阵 S 由双尺度方程系数构成，满足 $S_{2i+j,i} = \frac{1}{2^{k-1}} \binom{k}{j}$ ，称为

细分矩阵。

记 B 样条曲线的控制顶点向量为 $P^0 = [\dots, P_{-2}, P_{-1}, P_0, P_1, P_2, \dots]^T$ ，则 B

样条曲线可表示为

$$P(t) = N(t)P^0$$

将双尺度方程代入上式，有

$$P(t) = N(2t)SP^0 = N(2t)P^1$$

从而，有 $P^1 = SP^0$ ，同理有 $P^{k+1} = SP^k$

- B 样条曲线细分一般格式：

$$P_{2i+1}^{k+1} = \sum_l c_{2(i-l)+1} P_l^k$$

$$P_{2i}^{k+1} = \sum_l c_{2(i-l)} P_l^k$$

- 二次 B 样条细分算法

$$P_{2i}^{k+1} = \frac{3}{4}P_i^k + \frac{1}{4}P_{i+1}^k$$

$$P_{2i+1}^{k+1} = \frac{1}{4}P_i^k + \frac{3}{4}P_{i+1}^k \quad (\text{注：重新编号})$$

其双尺度方程的系数为 $\left\{ \frac{1}{2^2} \binom{3}{j}; j=0,1,2,3 \right\} = \left\{ \frac{1}{4}, \frac{3}{4}, \frac{3}{4}, \frac{1}{4} \right\}$

- 三次 B 样条细分算法

$$P_{2i}^{k+1} = \frac{1}{8}P_{i-1}^k + \frac{3}{4}P_i^k + \frac{1}{8}P_{i+1}^k$$

$$P_{2i+1}^{k+1} = \frac{1}{2}P_i^k + \frac{1}{2}P_{i+1}^k$$

其双尺度方程的系数为 $\left\{ \frac{1}{2^3} \binom{4}{j}; j=0,1,2,3,4 \right\} = \left\{ \frac{1}{8}, \frac{1}{2}, \frac{3}{4}, \frac{1}{2}, \frac{1}{8} \right\}$

(c) 细分曲线收敛性及光滑性

- 基本概念

曲线细分收敛是指细分多边形序列收敛；

每一多边形可表示成分段线性参数曲线；

n 维空间中曲线序列的收敛等价于其分量函数列的收敛。

- 定义：设函数列 $f_i(t)$, $t \in [a, b]$, $i = 0, 1, 2, \dots$, $\forall \varepsilon > 0$, $\exists n_0 > 0$, 当 $n > n_0$ 有 $\max_{t \in [a, b]} |f(t) - f_i(t)| < \varepsilon$, 则称函数列 $f_i(t)$ 一致收敛到函数 $f(t)$ 。特别地, 当函数 $f_i(t)$ 是连续函数时, 则其极限函数也连续。

引入记号:

$$\|f(t)\| = \sup_t |f(t)|$$

$$\|P\| = \sup_i |P_i|$$

$$\|S\| = \sup_i \sum_k |S_{i,k}|$$

$$\text{易知: } \|SP\| \leq \|S\| \cdot \|P\|$$

记 $P^j(t) = N(2^j t) P^j$, 为证明极限曲线 $P^\infty(t) = \lim_{j \rightarrow \infty} P^j(t)$ 连续, 需证明其极限存在且函数列一致收敛。

不妨可设细分矩阵 S 的行元素和为 1

$$\text{记 } P_{i+1}^j - P_i^j = (\Delta P^j)_i$$

- 引理：如果 $\|\Delta P^j\| < c\gamma^j$, 其中 c 为常数, $0 < \gamma < 1$, $j > j_0 \geq 0$, 则 $P^j(t)$ 一致收敛到连续极限曲线 $P^\infty(t)$ 。

证明：记 s_1 为一次 B 样条细分矩阵, 则有 $S - s_1$ 的行元素和为 0, 从而存在矩阵 D 使得 $S - s_1 = D\Delta$, 其中 Δ 表示差分。

$$\begin{aligned} \|P^{j+1}(t) - P^j(t)\| &= \|N(2^{j+1}t)P^{j+1} - N(2^j t)P^j\| \\ &= \|N(2^{j+1}t)SP^j - N(2^{j+1}t)s_1 P^j\| \\ &= \|N(2^{j+1}t)(S - s_1)P^j\| \\ &\leq \|N(2^{j+1}t)\| \cdot \|D\Delta P^j\| \\ &\leq \|D\| \cdot \|\Delta P^j\| \leq \|D\| c\gamma^j \end{aligned}$$

$$\text{又因为 } P^j(t) = P^0(t) + \sum_{k=0}^{j-1} (P^{k+1} - P^k)(t)$$

所以，当 $j \rightarrow \infty$ 时，有 $\|P^\infty(t) - P^j(t)\| < \frac{\|D\|_c}{1-\gamma} \gamma^j$

- 思考题：证明二次 B 样条和三次 B 样条细分曲线收敛。

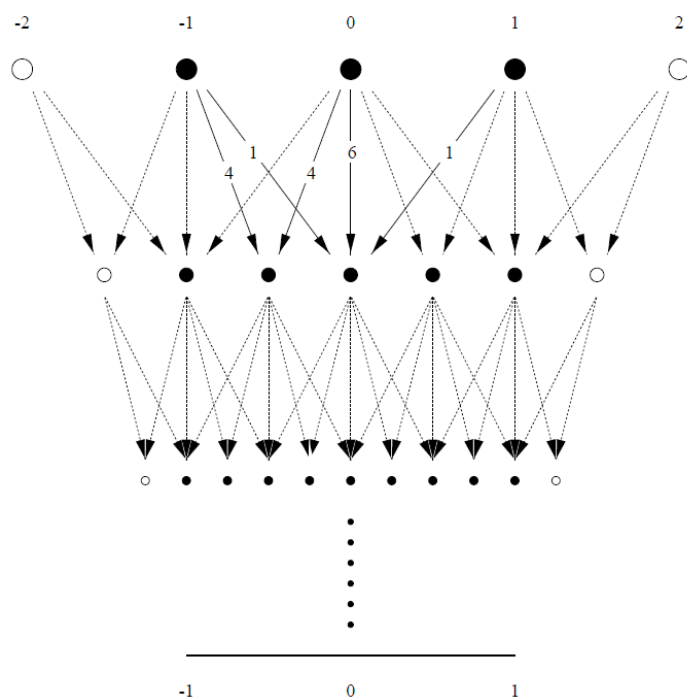
§3. 曲线细分光滑性分析

(a) 问题与动机

- 随着细分层次的增加，细分矩阵维数逐渐增大；
- 仅考虑在某控制顶点附近细分曲线的收敛性与光滑性；
- 局部细分矩阵维数不随细分层次增加；
- 利用矩阵性质分析细分曲线局部性质。

(b) 不变邻域

样条曲线在每次细分后在某点任意小邻域内不为 0 的基函数的个数称为不变邻域。

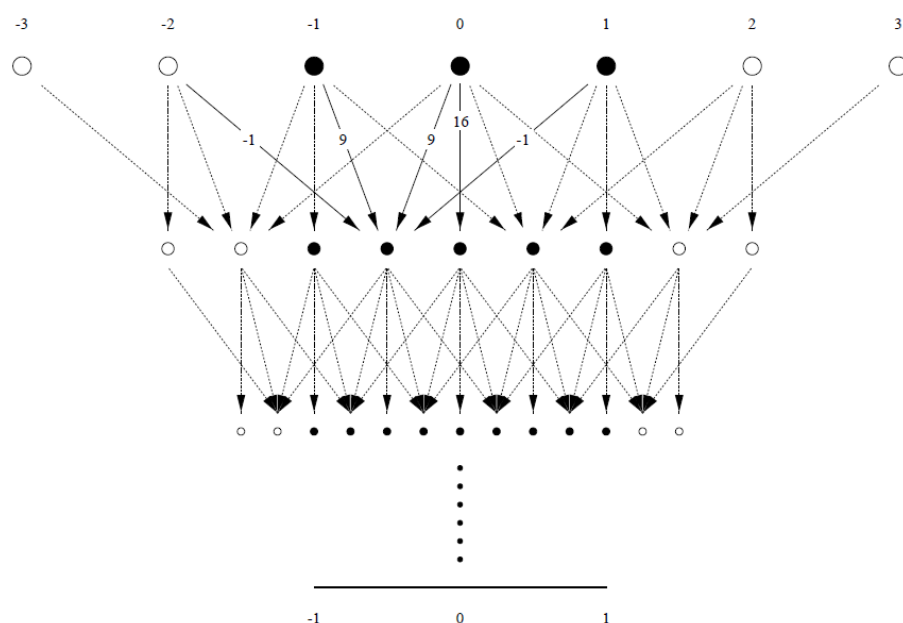


例：三次 B 样条基函数的非 0 区间是 4，其不变邻域尺度是 5

考虑以 0 为中心的参数区间对应的细分曲线，在任意层仅受 5 个控制顶点的影响，且下一层细分控制顶点由上一层控制顶点计算得到。有

$$\begin{pmatrix} P_{-2}^{k+1} \\ P_{-1}^{k+1} \\ P_0^{k+1} \\ P_1^{k+1} \\ P_2^{k+1} \end{pmatrix} = \frac{1}{8} \begin{pmatrix} 1 & 6 & 1 & 0 & 0 \\ 0 & 4 & 4 & 0 & 0 \\ 0 & 1 & 6 & 1 & 0 \\ 0 & 0 & 4 & 4 & 0 \\ 0 & 0 & 1 & 6 & 1 \end{pmatrix} \begin{pmatrix} P_{-2}^k \\ P_{-1}^k \\ P_0^k \\ P_1^k \\ P_2^k \end{pmatrix}$$

例：四点法插值曲线的不变邻域尺度为 7



四点法插值格式

$$P_{2i}^{k+1} = P_i^k$$

$$P_{2i+1}^{k+1} = -\frac{1}{16}P_{i-1}^k + \frac{9}{16}P_i^k + \frac{9}{16}P_{i+1}^k - \frac{1}{16}P_{i+2}^k$$

插值曲线表示

设 j 次细分后分段线性曲线为 $P^j(t)$ ，则有

$$P^j(t) = B_1(2^j t) S^j P^0$$

$$= B_1(2^j t) S^j \left(\sum_i P_i^0 \mathbf{e}_i^0 \right) \quad \text{其中 } \mathbf{e}_i^0 = (\dots \ 0 \ 0 \ 1 \ 0 \ \dots \ 0)$$

$$\begin{aligned}
&= \sum_i P_i^0 B_1(2^j t) S^j \mathbf{e}_i^0 \\
&= \sum_i P_i^0 \varphi_i^j(t)
\end{aligned}$$

$$\lim_{j \rightarrow \infty} \varphi_i^j(t) = \varphi_i(t) = \varphi(t-i)$$

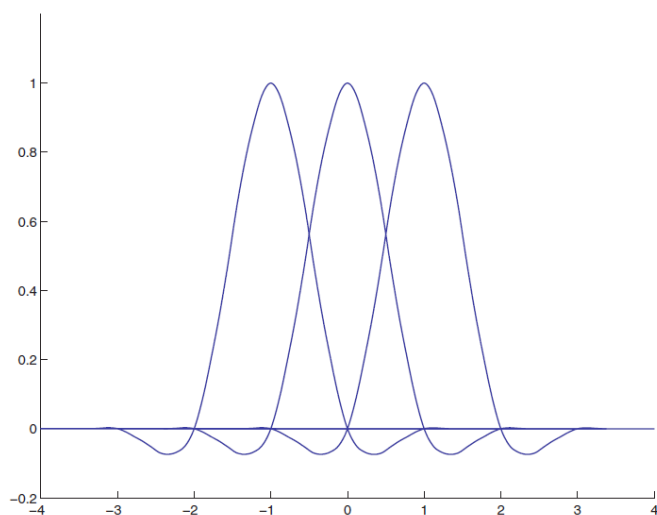
从而得到极限曲线表示为

$$P(t) = \sum_i P_i^0 \varphi(t-i)$$

其中基函数 $\varphi(t)$ 满足

$$\begin{cases} \varphi(0) = 1 \\ \varphi(i) = 0 & i \neq 0 \\ \varphi(t) = 0 & t \notin [-3, 3] \end{cases}$$

基函数(但不能用初等函数表示)见下图



由基函数的非 0 区间为 6 知四点插值曲线的不变邻域尺度是 7

局部细分矩阵

$$\begin{pmatrix} P_{-3}^{k+1} \\ P_{-2}^{k+1} \\ P_{-1}^{k+1} \\ P_0^{k+1} \\ P_1^{k+1} \\ P_2^{k+1} \\ P_3^{k+1} \end{pmatrix} = \frac{1}{16} \begin{pmatrix} -1 & 9 & 9 & -1 & 0 & 0 & 0 \\ 0 & 0 & 16 & 0 & 0 & 0 & 0 \\ 0 & -1 & 9 & 9 & -1 & 0 & 0 \\ 0 & 0 & 0 & 16 & 0 & 0 & 0 \\ 0 & 0 & -1 & 9 & 9 & -1 & 0 \\ 0 & 0 & 0 & 0 & 16 & 0 & 0 \\ 0 & 0 & 0 & -1 & 9 & 9 & -1 \end{pmatrix} \begin{pmatrix} P_{-3}^k \\ P_{-2}^k \\ P_{-1}^k \\ P_0^k \\ P_1^k \\ P_2^k \\ P_3^k \end{pmatrix}$$

(c) 特征分析

设 S 是 $n \times n$ 局部细分矩阵,

并假设有实特征值 $\lambda_0 \geq \lambda_1 \geq \dots \geq \lambda_{n-1}$

对应的特征向量为 $\mathbf{x}_0, \mathbf{x}_1, \dots, \mathbf{x}_{n-1}$

例: 三次 B 样条细分矩阵的特征值和特征向量分别为

$$(\lambda_0, \lambda_1, \lambda_2, \lambda_3, \lambda_4) = \left(1, \frac{1}{2}, \frac{1}{4}, \frac{1}{8}, \frac{1}{8}\right)$$

$$(\mathbf{x}_0, \mathbf{x}_1, \mathbf{x}_2, \mathbf{x}_3, \mathbf{x}_4) = \begin{pmatrix} 1 & -1 & 1 & 1 & 0 \\ 1 & -\frac{1}{2} & \frac{2}{11} & 0 & 0 \\ 1 & 0 & \frac{1}{11} & 0 & 0 \\ 1 & \frac{1}{2} & \frac{2}{11} & 0 & 0 \\ 1 & 1 & 1 & 0 & 1 \end{pmatrix}$$

此时, 有

$$S(\mathbf{x}_0, \mathbf{x}_1, \mathbf{x}_2, \mathbf{x}_3, \mathbf{x}_4) = (\mathbf{x}_0, \mathbf{x}_1, \mathbf{x}_2, \mathbf{x}_3, \mathbf{x}_4) \begin{pmatrix} \lambda_0 & 0 & 0 & 0 & 0 \\ 0 & \lambda_1 & 0 & 0 & 0 \\ 0 & 0 & \lambda_2 & 0 & 0 \\ 0 & 0 & 0 & \lambda_3 & 0 \\ 0 & 0 & 0 & 0 & \lambda_4 \end{pmatrix}.$$

例: 四点法局部细分矩阵的特征值为

$$(\lambda_0, \lambda_1, \lambda_2, \lambda_3, \lambda_4, \lambda_5, \lambda_6) = \left(1, \frac{1}{2}, \frac{1}{4}, \frac{1}{4}, \frac{1}{8}, -\frac{1}{16}, -\frac{1}{16}\right)$$

但其特征向量不是完全集, 细分收敛性和光滑性需要用其它方法分析。

设 $n \times n$ 局部细分矩阵 S 的特征向量是完全集, 有

$$SX = XD,$$

或 $X^{-1}SX = D$

$$\text{记 } X^{-1} = \begin{pmatrix} \bar{\mathbf{x}}_0 \\ \bar{\mathbf{x}}_1 \\ \vdots \\ \bar{\mathbf{x}}_{n-1} \end{pmatrix}, \text{ 其中 } \bar{\mathbf{x}}_i \text{ 为左特征向量, 即 } \bar{\mathbf{x}}_i S = \lambda_i \bar{\mathbf{x}}_i$$

点列向量 P 可表示为

$$P = \sum_{i=0}^{n-1} a_i \mathbf{x}_i, \text{ 其中 } a_i = \bar{\mathbf{x}}_i \cdot P$$

特别地, 若 P_i 表示 2D 或 3D 点, 则 a_i 也是 2D 或 3D 点

(d) 收敛与极限

设局部细分矩阵为 S , 初始控制点列为 P^0 , 有

$$SP^0 = S \sum_{i=0}^{n-1} a_i \mathbf{x}_i$$

$$= \sum_{i=0}^{n-1} a_i S \mathbf{x}_i$$

$$= \sum_{i=0}^{n-1} a_i \lambda_i \mathbf{x}_i$$

$$P^j = S^j P^0 = \sum_{i=0}^{n-1} a_i \lambda_i^j \mathbf{x}_i$$

● 收敛必要条件: $|\lambda_i| \leq 1, \quad i = 0, 1, \dots, n-1$

● 极限点

若 $\lambda_0 = 1, \quad |\lambda_i| < 1, \quad i = 1, \dots, n-1$, 有

$$P^\infty(0) = \lim_{j \rightarrow \infty} S^j P^0 = \lim_{j \rightarrow \infty} \sum_{i=0}^{n-1} a_i \lambda_i^j \mathbf{x}_i = a_0$$

例: 三次 B 样条曲线细分的极限点

$$P_i^\infty = a_0 = \bar{\mathbf{x}}_0 \cdot P^j = \frac{1}{6} (P_{i-1}^j + 4P_i^j + P_{i+1}^j)$$

● 极限点处切向

设极限点 $P^\infty(0) = a_0$ 为坐标原点,

细分矩阵特征值满足 $1 = \lambda_0 > |\lambda_1| > |\lambda_2|, |\lambda_3|, \dots, |\lambda_{n-1}|$ ，则有

$$P^j = \sum_{i=1}^{n-1} a_i \lambda_i^j \mathbf{x}_i$$

两边除以 λ_1^j ，可得

$$\frac{1}{\lambda_1^j} P^j = a_1 \mathbf{x}_1 + \sum_{i=2}^{n-1} a_i \left(\frac{\lambda_i}{\lambda_1} \right)^j \mathbf{x}_i$$

当 $j \rightarrow \infty$ 时，对应 λ_1 的控制点向量占主导位置，极限点沿向量 a_1 排列，该向量即为中点处切向量。

若 $\lambda_1 = \lambda_2$ ，极限将由 a_1 与 a_2 组合得到，此时在中心点无切向量。

● 细分方法光滑性的必要条件

1. $\lambda_1^2 < \lambda_2$ ： C^1 光滑，曲率无界；
2. $\lambda_1^2 = |\lambda_2| = |\lambda_3|$ ： C^1 光滑，曲率稍微分叉；
3. $\lambda_1^2 = |\lambda_2| > |\lambda_3|$ ： C^2 光滑，曲率连续；
4. $\lambda_1^2 > |\lambda_2|$ ： C^2 光滑，曲率趋于 0。

例：三次 B 样条细分矩阵的特征值为

$$(\lambda_0, \lambda_1, \lambda_2, \lambda_3, \lambda_4) = \left(1, \frac{1}{2}, \frac{1}{4}, \frac{1}{8}, \frac{1}{8} \right), \text{符合必要条件 3, 极限曲线 } C^2 \text{ 光滑。}$$

§4. 曲面细分格式

(a) Catmull-Clark 细分曲面

● 双三次均匀 B 样条曲面细分

考虑双三次均匀 B 样条曲面片

$$S(u, v) = U M G M^T V^T$$

$$\text{其中 } M = \frac{1}{6} \begin{pmatrix} -1 & 3 & -3 & 1 \\ 3 & -6 & 3 & 0 \\ -3 & 0 & 3 & 0 \\ 1 & 4 & 1 & 0 \end{pmatrix}, \quad G = \begin{pmatrix} P_{11} & P_{12} & P_{13} & P_{14} \\ P_{21} & P_{22} & P_{23} & P_{24} \\ P_{31} & P_{32} & P_{33} & P_{34} \\ P_{41} & P_{42} & P_{43} & P_{44} \end{pmatrix}$$

$$U = \begin{pmatrix} u^3 & u^2 & u & 1 \end{pmatrix}, \quad V = \begin{pmatrix} v^3 & v^2 & v & 1 \end{pmatrix}$$

考虑子面片 $0 < u, v < \frac{1}{2}$

令 $u_1 = u/2$, $v_1 = v/2$, 有

$$S(u_1, v_1) = USMG M^T S^T V^T$$

$$\text{其中 } S = \begin{pmatrix} \frac{1}{8} & 0 & 0 & 0 \\ 0 & \frac{1}{4} & 0 & 0 \\ 0 & 0 & \frac{1}{2} & 0 \\ 0 & 0 & 0 & 1 \end{pmatrix}$$

因 $S(u_1, v_1)$ 仍是双三次 B 样条曲面，所以可表示为

$$S(u_1, v_1) = UMG_1 M^T V^T$$

比较系数，可得

$$MG_1 M^T = SMGM^T S^T$$

从而 $G_1 = H_1 G H_1^T$, 其中 $H_1 = M^{-1} S M$

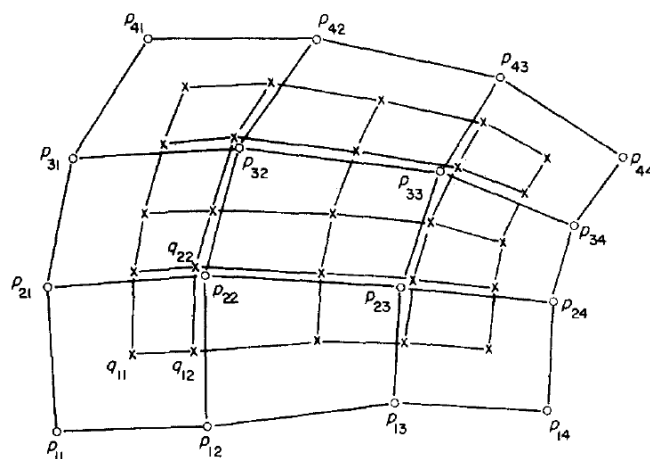
$$\text{计算可得 } H_1 = \frac{1}{8} \begin{pmatrix} 4 & 4 & 0 & 0 \\ 1 & 6 & 1 & 0 \\ 0 & 4 & 4 & 0 \\ 0 & 1 & 6 & 1 \end{pmatrix}$$

记 $G_1 = (q_{ij})_{4 \times 4}$, 有

$$q_{11} = (P_{11} + P_{12} + P_{21} + P_{22})/4, \quad q_{13} = (P_{12} + P_{13} + P_{22} + P_{23})/4$$

$$q_{12} = \left(\frac{q_{11} + q_{13}}{2} + \frac{P_{12} + P_{22}}{2} \right) / 2$$

$$q_{22} = \frac{Q}{4} + \frac{R}{2} + \frac{P_{22}}{4}$$



其中

Q 是与 P_{22} 相邻面中心的平均,

R 是与 P_{22} 相邻边中点的平均

- 任意拓扑网格细分格式

新面点: 对应面上所有老顶点的平均

$$V_F = (V_0 + V_1 + \dots + V_{s-1}) / s$$

新边点: 对应边两端点以及两个相邻面新面点的平均

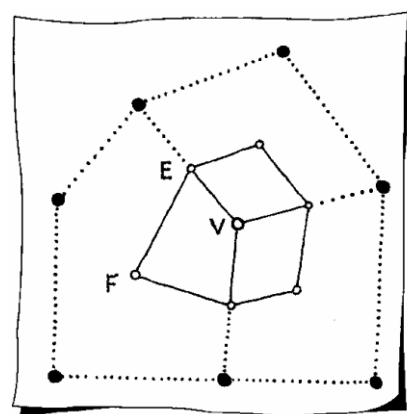
$$V_E = (V_1 + V_2 + F_1 + F_2) / 4$$

新顶点: 老顶点为 v , 度数为 k , 则有

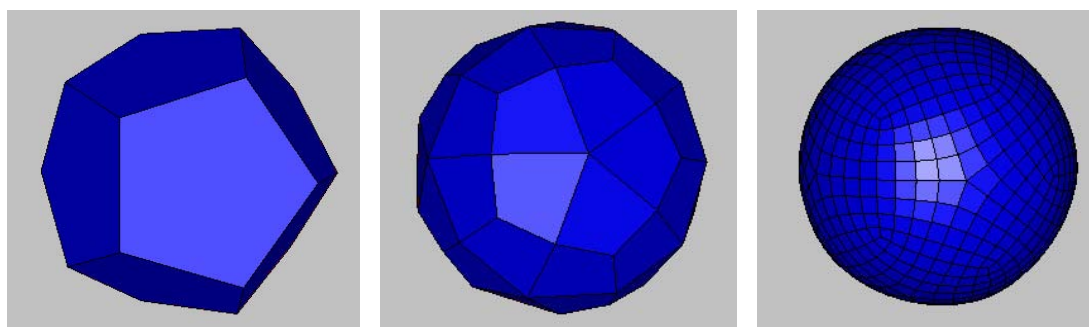
$$V_V = \frac{Q}{k} + \frac{2R}{k} + \frac{V(k-3)}{k}$$

拓扑连接:

1. 新面点与该面所有新边点相连
2. 新顶点与相邻边的新边点相连

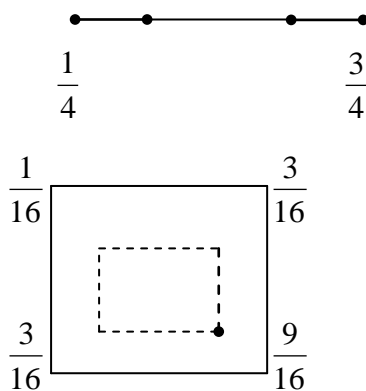


特点: 一次细分后所有面片是 4 边形, 奇异点数不变



(b) Doo-Sabin 细分曲面

推广双二次均匀 B 样条细分算法到任意拓扑网格



新面点计算方法:

$$\bar{V}_0 = \sum_{i=0}^{n-1} \gamma_i V_i$$

其中 $\gamma_0 = \frac{n+5}{4n}$, $\gamma_i = \frac{1}{4n} \left(3 + 2 \cos \frac{2i\pi}{n} \right)$, $i = 1, 2, \dots, n-1$

开网格采用 Chaikin 算法

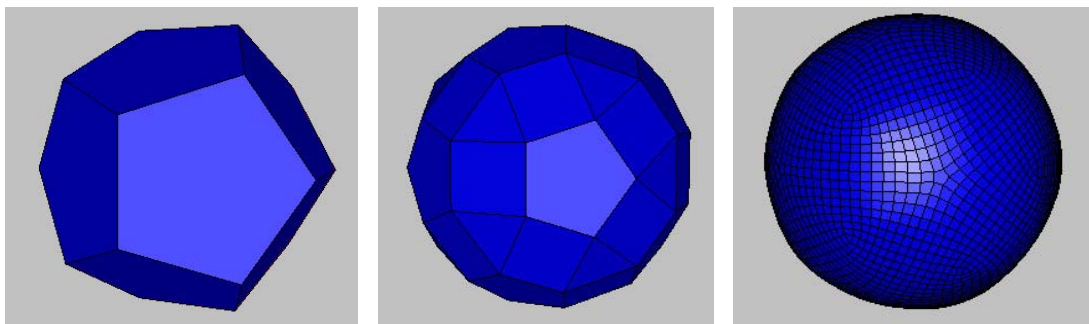
拓扑连接:

新面面(F-face): 顺次连接 \bar{v}_i 得到新的面

新边面(E-face): 对应原网格一条边, 共享此边的邻接面内的新点组成的面

新点面(V-face): 顺次连接网格上顶点所分裂的顶点组成的面

特点: 极限曲面 C^1 连续, 一次细分后每个顶点的度数是 4



思考题: 编程实现曲线细分或曲面细分

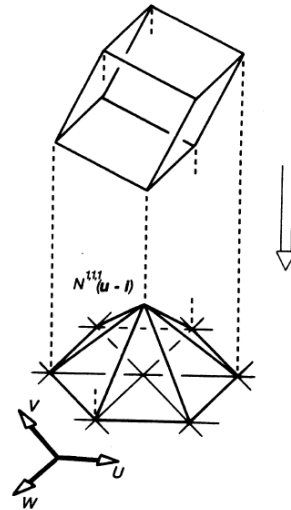
参考<http://mrl.nyu.edu/~biemann/subdivision/>

(c) Loop 细分

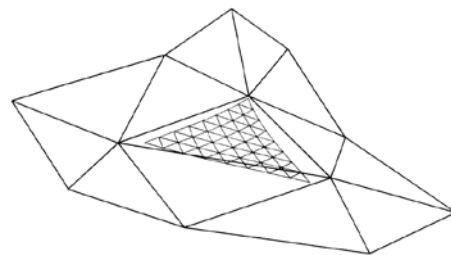
● Box 样条

$$S^{r,s,t}(\mathbf{u}) = \sum_{\mathbf{i}} P_{\mathbf{i}}^{r,s,t} N^{r,s,t}(\mathbf{u} - \mathbf{i})$$

其中 $\mathbf{u} \in \mathbb{R}^2$, $\mathbf{i} \in \mathbb{Z}^2$



例：三角样条曲面及控制网格



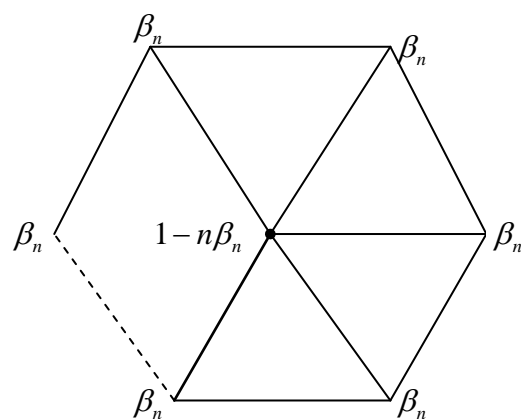
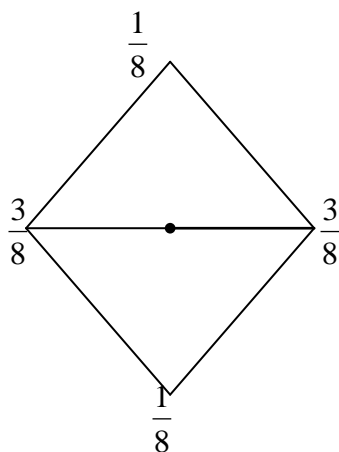
● 细分规则

$$S^{r,s,t}(\mathbf{u}) = \sum_{\mathbf{j}} P_{\mathbf{j}}^{r,s,t} N^{r,s,t}(2(\mathbf{u} - \mathbf{j}))$$

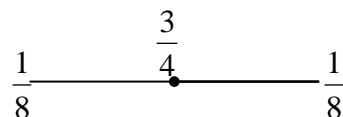
对应每条边、每个顶点产生一个新点

一个三角形被分解成 4 个小三角形

内部点规则



边界点规则



新边点:

$$V_E = \frac{3}{8}(V_0 + V_1) + \frac{1}{8}(V_2 + V_3)$$

新顶点:

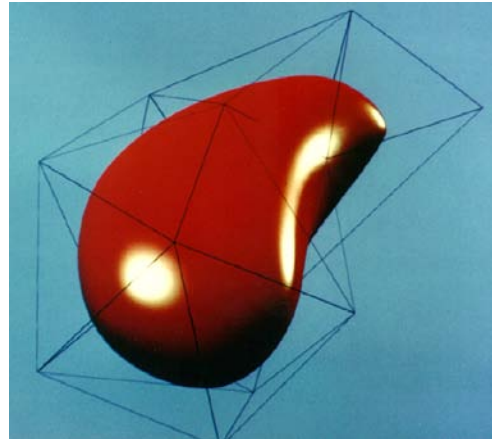
$$V_V = (1 - n\beta_n)V + \beta_n \sum_{i=0}^{n-1} V_i$$

其中

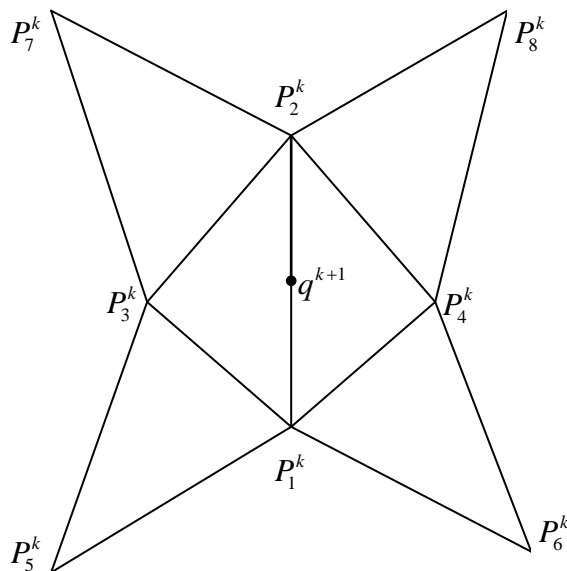
$$\beta_n = \frac{1}{n} \left(\frac{5}{8} - \left(\frac{3}{8} + \frac{1}{4} \cos \frac{2\pi}{n} \right)^2 \right)$$

$$\text{或 } \beta_n = \begin{cases} \frac{3}{16}, & n=3 \\ \frac{3}{8n}, & n>3 \end{cases}$$

Loop 细分曲面整体 C^1 光滑



(d) Butterfly 细分及其改进



细分规则(Dyn,Levin,Gregory1990)

$$q^{k+1} = u(P_1^k + P_2^k) + v(P_3^k + P_4^k) - w(P_5^k + P_6^k + P_7^k + P_8^k)$$

由细分曲面 C^0 连续必要条件:

$$2u + 2v - 4w = 1$$

由细分曲面 C^1 连续必要条件:

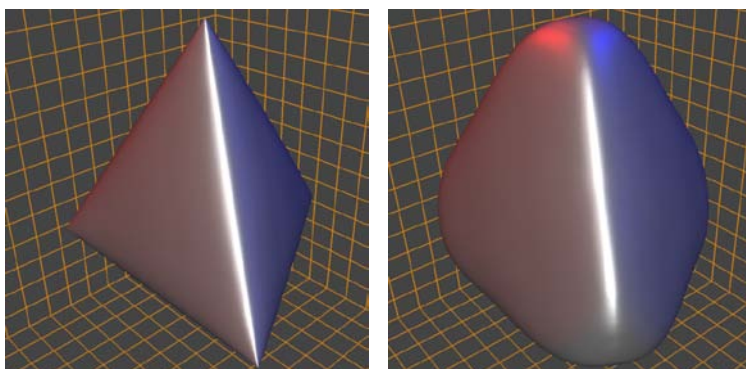
$$u = \frac{1}{2} + h(w), \quad h(0) = 0$$

令 $h=0$, 则有 $u=1/2$, $v=2w$

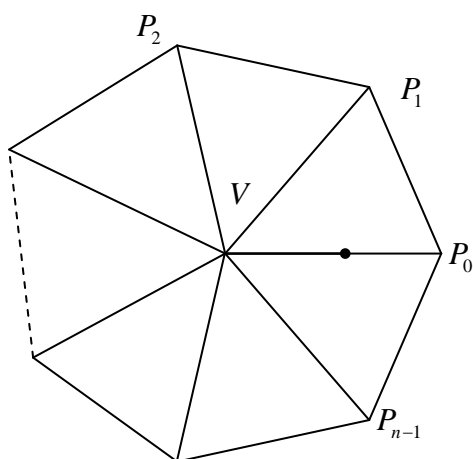
从而有

$$q^{k+1} = \frac{1}{2}(P_1^k + P_2^k) + 2w(P_3^k + P_4^k) - w(P_5^k + P_6^k + P_7^k + P_8^k)$$

参数取值: $w = \frac{1}{16}$



在规则点(度数=6)处 C^1 连续, 在非规则点仅 C^0 连续



改进的 butterfly 细分方法

对内部点/边进行分类, 采用不同的 mask 来生成细分曲面

非规则点/边的 mask 采用三次函数插值得到

1. 两端点度数为 6 的内部边

采用经典 butterfly 方法

2. 一个端点度数为 6 一个不为 6 的内部边

$$V_E = \frac{3}{4}V + \sum_{i=0}^{n-1} s_i P_i$$

其中系数选取如下：

$$\text{如果 } n \geq 5, \quad s_i = \frac{1}{n} \left(\frac{1}{4} + \cos \frac{2i\pi}{n} + \frac{1}{2} \cos \frac{4i\pi}{n} \right)$$

$$\text{如果 } n = 4, \quad s_0 = \frac{3}{8}, \quad s_2 = -\frac{1}{8}, \quad s_1 = s_3 = 0$$

$$\text{如果 } n = 3, \quad s_0 = \frac{5}{12}, \quad s_1 = s_2 = -\frac{1}{12}$$

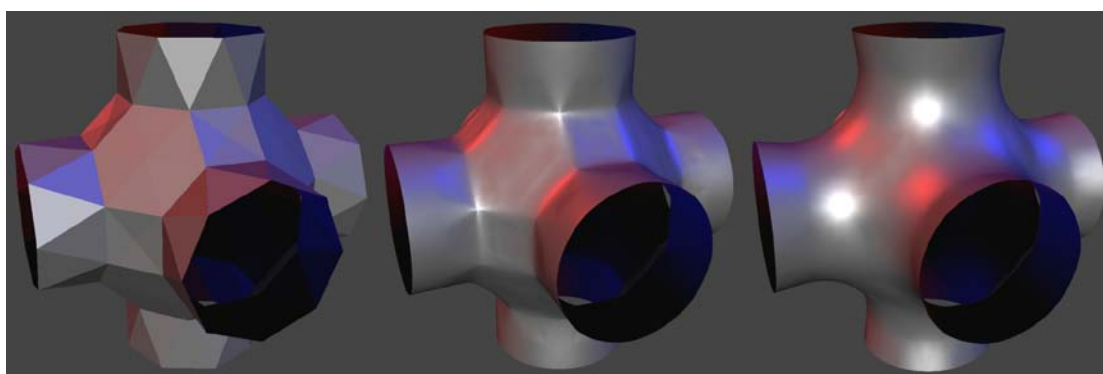
3. 两个端点度数都不是 6 的内部边

分别应用规则 2 进行插值点计算并平均

4. 边界边

采用 4 点法插值新点。

改进的 butterfly 细分曲面全局 C^1 连续。

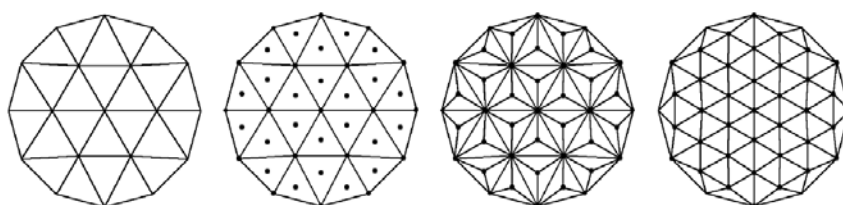


控制网格

改进前

改进后

(e) $\sqrt{3}$ 细分



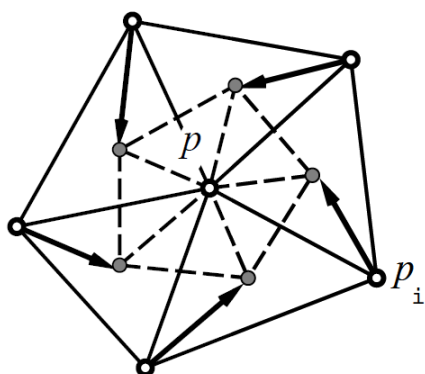
拓扑规则

细分规则由对称性得到：

新面点： $\mathbf{q} = \frac{1}{3}(P_i + P_j + P_k)$

新顶点： $P_s = (1 - \alpha_n)P + \frac{\alpha_n}{n} \sum_{i=0}^{n-1} P_i$

其中 n 表示顶点 P 的度数， $\alpha_n = \frac{1}{9} \left(4 - 2 \cos \frac{2\pi}{n} \right)$



记向量 $[P, P_0, P_1, \dots, P_{n-1}]$ ，则一次细分矩阵为

$$S = \frac{1}{3} \begin{bmatrix} u & v & v & v & \cdots & v \\ 1 & 1 & 1 & 0 & \cdots & 0 \\ 1 & 0 & \ddots & & & \vdots \\ & & & \ddots & & 0 \\ 1 & 0 & 0 & 0 & \cdots & 1 \\ 1 & 1 & 0 & 0 & \cdots & 1 \end{bmatrix}_{(n+1) \times (n+1)}$$

其中 $u = 3(1 - \alpha_n)$ ， $v = 3\alpha_n / n$

连续两次细分矩阵为 S^2

反转矩阵

$$R = \begin{bmatrix} 1 & 0 & 0 & \cdots & 0 \\ 0 & 0 & 0 & \cdots & 1 \\ 0 & 1 & 0 & \cdots & 0 \\ & & \ddots & \ddots & \\ 0 & 0 & \cdots & 1 & 0 \end{bmatrix}$$

细分矩阵 $\bar{S} = RS^2$ ，

细分矩阵 \bar{S} 特征根: $\frac{1}{9}\left[9, (2-3\alpha_n)^2, 2+2\cos\left(2\pi\frac{1}{n}\right), \dots, 2+2\cos\left(2\pi\frac{n-1}{n}\right)\right]$

细分曲面收敛必要条件:

$$\lambda_1 = 1 > \lambda_2 = \lambda_3 > \lambda_i, \quad i = 4, \dots, n+1$$

由细分矩阵的特征结构对应 Taylor 展开, 特别地, λ_4 相当于展开式二次项, 故令 $\lambda_4 = \lambda_2^2$, 有

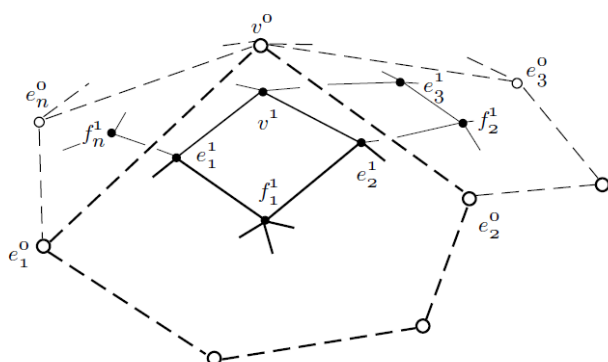
$$\left(\frac{2-3\alpha_n}{3}\right)^2 = \left(\frac{2+2\cos\left(2\pi\frac{1}{n}\right)}{9}\right)^2$$

解方程, 可得 $\alpha_n = \frac{1}{9}\left(4 - 2\cos\frac{2\pi}{n}\right)$ 。

§5. 曲面细分收敛性与显式计算

(a) 曲面细分收敛性分析

● Catmull-Clark 细分曲面的收敛性



初始网格记为 M^0 , 一次细分网格记为 M^1

记向量 $\mathbf{V}_n^i = [\mathbf{v}^i, \mathbf{e}_1^i, \mathbf{e}_2^i, \dots, \mathbf{e}_n^i, \mathbf{f}_1^i, \mathbf{f}_2^i, \dots, \mathbf{f}_n^i]$, 并设 $m = 2n+1$

S_n 为 $m \times m$ 细分矩阵, 则有

$$\mathbf{V}_n^{i+1} = S_n \mathbf{V}_n^i$$

不妨设矩阵 S_n 有实特征值 $\lambda_1 \geq \lambda_2 \geq \dots \lambda_m$,

对应的左特征向量分别为 $\mathbf{l}_1, \mathbf{l}_2, \dots, \mathbf{l}_m$

对应的右特征向量分别为 $\mathbf{r}_1, \mathbf{r}_2, \dots, \mathbf{r}_m$

特别地, 有 $\mathbf{l}_k \cdot \mathbf{r}_j = \delta_{kj}$

向量 \mathbf{V}_n^1 可表示为 $\mathbf{V}_n^1 = C_1 \mathbf{r}_1 + C_2 \mathbf{r}_2 + \dots + C_m \mathbf{r}_m$

其中 $C_k = \mathbf{l}_k \cdot \mathbf{V}_n^1$

相应地, 有 $\mathbf{V}_n^{i+1} = S_n^i \mathbf{V}_n^1 = \lambda_1^i C_1 \mathbf{r}_1 + \lambda_2^i C_2 \mathbf{r}_2 + \dots + \lambda_m^i C_m \mathbf{r}_m$

命题 1: 若细分矩阵 S_n 满足: (1) 有 m 个实特征值; (2) $\lambda_1 = 1$, $\lambda_k < 1$; (3) 细分曲面具有仿射不变性, 则细分曲面收敛, 且有

$$\mathbf{V}_n^\infty = \lim_{i \rightarrow \infty} \mathbf{V}_n^{i+1} = C_1 \mathbf{r}_1 = (\mathbf{l}_1 \cdot \mathbf{V}_n^1) \mathbf{r}_1.$$

考虑细分矩阵每行元素和为 1 (细分曲面具有仿射不变性), 有

$$S_n (1, 1, \dots, 1)^T = (1, 1, \dots, 1)^T$$

所以, 有 $\mathbf{r}_1 = (1, 1, \dots, 1)^T$

由 $\mathbf{V}_n^\infty = C_1 \mathbf{r}_1$ 知, 点 $\mathbf{v}^i, \mathbf{e}_1^i, \mathbf{e}_2^i, \dots, \mathbf{e}_n^i, \mathbf{f}_1^i, \mathbf{f}_2^i, \dots, \mathbf{f}_n^i$ 均收敛于 $\mathbf{v}^\infty = C_1$ 。

命题 2: 若细分矩阵 S_n 满足命题 1 条件以及 $1 = \lambda_1 > \lambda_2 = \lambda_3 > \lambda_4$,

则细分曲面在极限点 \mathbf{v}^∞ 的法向可计算为

$$N^\infty = C_2 \times C_3$$

其中 $C_2 = \mathbf{l}_2 \cdot \mathbf{V}_n^1$, $C_3 = \mathbf{l}_3 \cdot \mathbf{V}_n^1$ 。

证明: 记 $\mathbf{r}_k = (r_{1k}, r_{2k}, \dots, r_{mk})^T$, 并设 $\lambda = \lambda_2 = \lambda_3$, 则有

$$\mathbf{u}_j^i = \frac{P_j^i - \mathbf{v}^\infty}{\|P_j^i - \mathbf{v}^\infty\|} = \frac{\lambda^i (C_2 r_{j2} + C_3 r_{j3}) + \lambda_4^i C_4 r_{j4} + \dots}{\|\lambda^i (C_2 r_{j2} + C_3 r_{j3}) + \lambda_4^i C_4 r_{j4} + \dots\|}$$

$$= \frac{C_2 r_{j2} + C_3 r_{j3} + \frac{\lambda_4^i}{\lambda^i} C_4 r_{j4} + \dots}{\left\| C_2 r_{j2} + C_3 r_{j3} + \frac{\lambda_4^i}{\lambda^i} C_4 r_{j4} + \dots \right\|}, \quad j = 2, 3, \dots, m$$

$$\mathbf{u}_j^\infty = \lim_{i \rightarrow \infty} \mathbf{u}_j^i = \frac{C_2 r_{j2} + C_3 r_{j3}}{\|C_2 r_{j2} + C_3 r_{j3}\|}$$

此式说明 \mathbf{u}_j^∞ 位于法向为 $N^\infty = C_2 \times C_3$ 的切平面上。命题得证。

对于 Catmull-Clark 细分曲面，有

$$\lambda = \lambda_2 = \lambda_3 = \frac{4 + A_n}{16}, \quad \text{其中}$$

$$A_n = 1 + \cos \frac{2\pi}{n} + \cos \frac{\pi}{n} \sqrt{2 \left(9 + \cos \frac{2\pi}{n} \right)}$$

$$C_2 = \sum_j A_n \cos \frac{2\pi j}{n} \mathbf{e}_j^1 + \left(\cos \frac{2\pi j}{n} + \cos \frac{2\pi(j+1)}{n} \right) \mathbf{f}_j^1$$

$$C_3 = \sum_j A_n \cos \frac{2\pi j}{n} \mathbf{e}_{j+1}^1 + \left(\cos \frac{2\pi j}{n} + \cos \frac{2\pi(j+1)}{n} \right) \mathbf{f}_{j+1}^1$$

(b) 细分曲面显式计算

- Catmull-Clark 细分曲面极限点公式

$$\mathbf{v}^\infty = \frac{n^2 \mathbf{v}^1 + 4 \sum_{j=1}^n \mathbf{e}_j^1 + \sum_{j=1}^n \mathbf{f}_j^1}{n(n+5)}$$

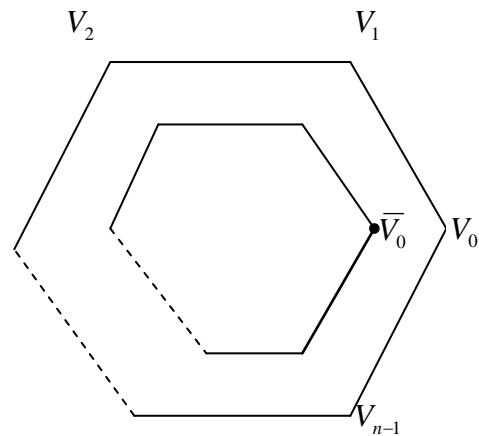
- Doo-Sabin 细分曲面极限点

新面点计算公式：

$$\bar{V}_0 = \sum_{i=0}^{n-1} \gamma_i V_i, \quad \sum_{i=0}^{n-1} \gamma_i = 1$$

易知

$$\bar{V} = \frac{1}{n} \sum_{i=0}^{n-1} \bar{V}_i = \frac{1}{n} \sum_{i=0}^{n-1} V_i$$



故，Doo-Sabin 细分曲面插值每个面片中心点。

- Loop 细分曲面极限点

顶点细分公式

$$V_V = (1 - n\beta_n)V + \beta_n \sum_{i=0}^{n-1} V_i, \text{ 其中 } \beta_n = \frac{1}{n} \left(\frac{5}{8} - \left(\frac{3}{8} + \frac{1}{4} \cos \frac{2\pi}{n} \right)^2 \right)$$
$$= \bar{\beta}_n V + (1 - \bar{\beta}_n) \frac{1}{n} \sum_{i=0}^{n-1} V_i, \text{ 其中 } \bar{\beta}_n = \frac{3}{8} + \left(\frac{3}{8} + \frac{1}{4} \cos \frac{2\pi}{n} \right)^2$$

极限点公式

$$V^\infty = \gamma_n V + (1 - \gamma_n) \frac{1}{n} \sum_{i=0}^{n-1} V_i$$

$$\text{其中 } \gamma_n = \frac{3}{11 - 8 \times \left[\frac{3}{8} + \left(\frac{3}{8} + \frac{1}{4} \cos \frac{2\pi}{n} \right)^2 \right]}$$

(c) 细分曲面的多项式逼近

- 细分曲面计算与绘制

常用计算方法:

1. 迭代细分
2. 直接计算特征向量与极限点
3. 预计算细分曲面基函数

GPU 绘制

1. 细分曲面采用分片多项式逼近/插值
2. 法向量独立计算+连续向量场

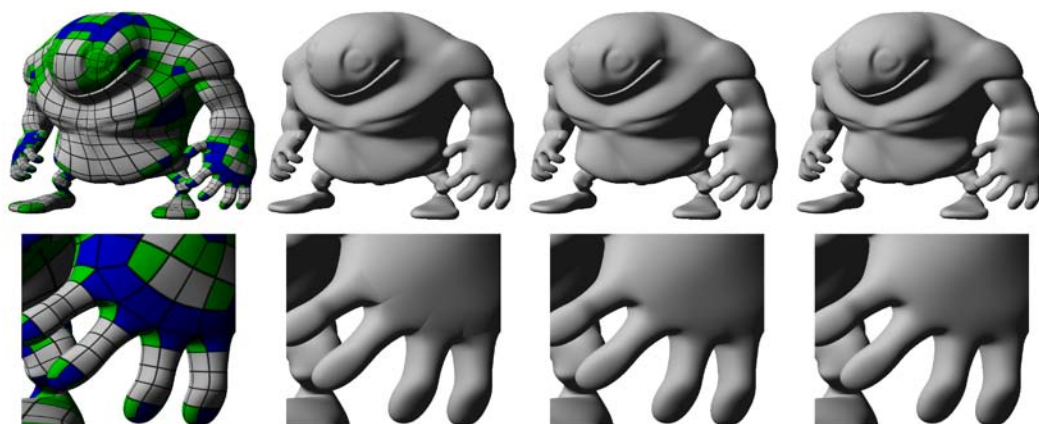
- Catmull-Clark 曲面的双三次曲面逼近

算法步骤:

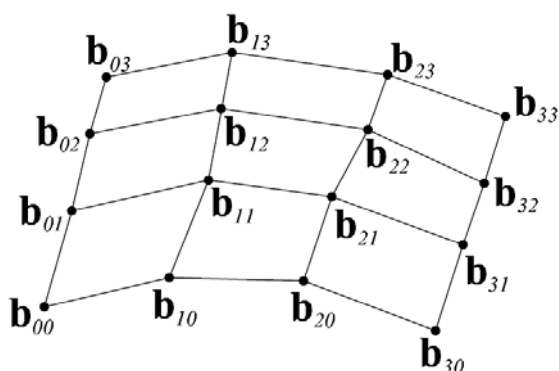
1. 给定初始四边形控制网格
2. 针对每一四边形构造一张双三次曲面

3. 构造对应每张曲面片的切平面

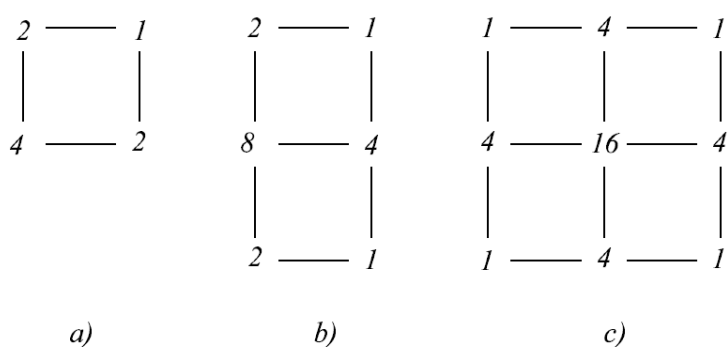
4. 独立绘制每张曲面片



控制网格 逼近曲面 连续法向场绘制 原 C-C 曲面



双三次 B zier 曲面控制网格



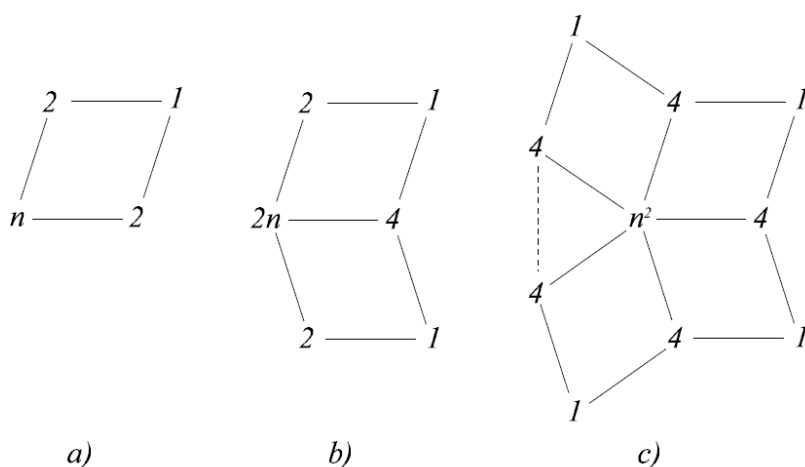
由 B 样条曲面控制顶点生成 B zier 控制顶点的 mask:

a) 内部点: \mathbf{b}_{11} , \mathbf{b}_{12} , \mathbf{b}_{21} , \mathbf{b}_{22}

b) 边界点: \mathbf{b}_{10} , \mathbf{b}_{20} , \mathbf{b}_{01} , \mathbf{b}_{02} , \mathbf{b}_{13} , \mathbf{b}_{23} , \mathbf{b}_{31} , \mathbf{b}_{32}

c) 角点: \mathbf{b}_{00} , \mathbf{b}_{30} , \mathbf{b}_{03} , \mathbf{b}_{33}

推广 B 样条曲面节点插入 mask，得到 Catmull-Clark 细分曲面节点插入 mask 如下：



a) Bézier 曲面内部点 mask;

b) Bézier 曲面边界点 mask;

c) Bézier 曲面角点 mask;

这里 n 表示原控制网格顶点度数，

若 $n=4$ 则得到精确 B 样条曲面

若 $n \neq 4$ 则得到 C-C 细分曲面的近似曲面片

结论：

1. 分片 Bézier 曲面在公共边界处连续
2. 边界线两端度数都是 4 则曲面光滑
3. 边界线一端度数不是 4 则曲面不光滑

连续法向量场构造

1. 双三次 Bézier 曲面的法向量场是双五次 Bézier 曲面
2. 双三次 Bézier 近似法向量场

§6. 非稳定/线性细分方法

(a) 变分细分

记原多边形 $\Gamma_m = (P_0^m, \dots, P_{n-1}^m)$

细分一次多边形为 $\Gamma_{m+1} = (P_0^{m+1}, \dots, P_{2n-1}^{m+1})$

考虑插值细分格式，有 $P_{2i}^{m+1} = P_i^m$

细分多边形光滑性度量

$$K(P_i^{m+1}) = \sum_{j=0}^k \alpha_j P_{i+j-r}^{m+1}$$

其中 $\alpha(z) = \sum_{j=0}^k \alpha_j z^j$ 满足：

α_j 为任意实数， $\alpha(1)=0$ ；参数 r 由用户给定。

细分曲线能量

$$E(\Gamma_{m+1}) = \sum_{i=0}^{2n-1} K^2(P_i^{m+1})$$

能量最小原理

$$\frac{\partial E(\Gamma_{m+1})}{\partial P_{2l+1}^{m+1}} = \sum_{i=0}^k \frac{\partial}{\partial P_{2l+1}^{m+1}} K^2(P_{2l+1+r-i}^{m+1})$$

$$= 2 \sum_{i=0}^k \alpha_i \sum_{j=0}^k \alpha_j P_{2l+1+j-i}^{m+1}$$

$$= 2 \sum_{i=0}^k \beta_i P_{2l+1+i}^{m+1}$$

其中 $\beta_{-i} = \beta_i = \sum_{j=0}^{k-i} \alpha_j \alpha_{j+i}$ ， $i = 0, 1, \dots, k$

由 $\frac{\partial E(\Gamma_{m+1})}{\partial P_{2l+1}^{m+1}} = 2 \sum_{i=0}^k \beta_i P_{2l+1+i}^{m+1} = 0$ ，可得方程组

$$\begin{pmatrix} \beta_0 & \beta_2 & \beta_4 & \cdots & \beta_2 \\ \beta_2 & \beta_0 & \beta_2 & \cdots & \beta_4 \\ \vdots & \vdots & \vdots & \ddots & \vdots \\ P_1^{m+1} & P_3^{m+1} & \vdots & \vdots & P_{2n-1}^{m+1} \end{pmatrix} = \begin{pmatrix} -\beta_1 & -\beta_1 & -\beta_3 & \cdots & -\beta_3 \\ -\beta_3 & -\beta_1 & -\beta_1 & \cdots & -\beta_5 \\ \vdots & \vdots & \vdots & \ddots & \vdots \end{pmatrix} \begin{pmatrix} P_0^m \\ P_1^m \\ \vdots \\ P_{n-1}^m \end{pmatrix}$$

求解方程组可得新点。

(b) 保形细分曲线曲面

更多细分格式

1. Dyn, N., Levin, D., and Liu, D., 1992. Interpolatory convexity-preserving subdivision schemes for curves and surfaces. *Computer-Aided Design*, 24(4), 211-216.
2. Jos Stam. On subdivision schemes generalizing uniform B-spline surfaces of arbitrary degree. *Computer Aided Geometric Design* 18 (2001) 383–396
3. Yang, X. 2006. Normal based subdivision scheme for curve design, *Computer Aided Geometric Design* 23(3):243-260.
4. Nira Dyn and Peter Oswald. Univariate subdivision and multi-scale transforms: The nonlinear case, R.A. DeVore, A. Kunoth (eds.), *Multiscale, Nonlinear and Adaptive Approximation*, Springer-Verlag Berlin Heidelberg 2009
5. S. Schaefer *, E. Vouga, R. Goldman. Nonlinear subdivision through nonlinear averaging, *Computer Aided Geometric Design* 25 (2008) 162–180.
6. Evgeny Lipovetsky and Nira Dyn. 2016. A weighted binary average of point-normal pairs with application to subdivision schemes. *Computer Aided Geometric Design* 48(November 2016), 36–48.